

Постановка задачи

Рассмотрим первую краевую задачу для уравнения теплопроводности с переменными коэффициентами:

$$\begin{cases} \frac{\partial u}{\partial t} = \frac{\partial}{\partial x} \left(k(x, t) \frac{\partial u}{\partial x} \right) + f(x, t), & 0 < x < 1, \quad 0 < t \leq T, \quad T = \text{const}, \\ u(x, 0) = u_0(x), \\ u(0, t) = \mu_1(t), \\ u(1, t) = \mu_2(t). \end{cases} \quad (1)$$

где $k(x, t), f(x, t)$ — достаточно гладкие функции, удовлетворяющие условиям:

$$0 < c_1 \leq k(x, t) \leq c_2.$$

Используя интегро-интерполяционный метод или метод баланса, получим разностное уравнение:

$$u_{i-1} - \nu_i = \frac{1}{h} \left[a_{i+1} \frac{\nu_{i+1} - \nu_i}{h} - a_i \frac{\nu_i - \nu_{i-1}}{h} \right] - d_i \nu_i = -\phi_i,$$

где $\phi_i = \frac{1}{h} \int_{x_{i-1/2}}^{x_{i+1/2}} f(x) dx$.

Интегралы, определяющие коэффициенты a_i, d_i, ϕ_i построенной разностной схемы, можно заменять приближенными значениями. Например, используя формулу трапеций:

$$a_i = \left(\frac{1}{h} \int_{x_{i-1}}^{x_i} \frac{dx}{k(x)} \right)^{-1} \approx \frac{2k(x_{i-1})k(x_i)}{k(x_{i-1}) + k(x_i)}.$$

$$\frac{a(x_{i+1}, t) - a(x_i, t)}{2} = \frac{\partial k}{\partial x}(x_i, t) + O(h^2).$$

Коэффициенты (x_i, t) , удовлетворяющие указанным условиям, можно выбирать различными способами. Чаще прочих используется одно из следующих выражений:

$$a(x_i, t) = \frac{k(x_{i-1}, t) + k(x_i, t)}{2},$$

$$a_i(x_i, t) = k(x_{i-h/2}, t),$$

$$a_i(v) = \frac{2k(x_{i-1}, t)k(x_i, t)}{k(x_{i-1}, t) + k(x_i, t)}.$$

На равномерной сетке по пространству и времени рассмотрим разностную схему с весами, аппроксимирующую рассматриваемую задачу:

$$\begin{cases} \frac{y_i^{n+1} - y_i^n}{\tau} = \Lambda(t)(\sigma y_i^{n+1} + (1 - \sigma)y_i^n) + f(x_i, t), \\ i = 1, 2, \dots, N - 1, \quad hN = 1, \\ y_0^{n+1} = \mu_1(t_{n+1}), \\ y_N^{n+1} = \mu_2(t_{n+1}), \\ y_i^0 = u_0(x_i). \end{cases}$$

Схема имеет 2-й порядок аппроксимации по τ и h , если $t = t_n + \frac{\tau}{2}$, $\sigma = 0.5$. При прочих значениях σ и t : $O(\tau + h^2)$.

Перейдём к построению схемы для нестационарного уравнения. Исходя из

$$Lu = \frac{\partial}{\partial x} \left(k \frac{\partial u}{\partial x} \right) = \frac{\partial k}{\partial x} \frac{\partial u}{\partial x} + k \frac{\partial^2 u}{\partial x^2},$$

при каждом фиксированном t в точке (x_i, t) разностным отношением

$$\Lambda(t)y_i = (a(x_i, t)y_x)_x, i = \frac{1}{h} [a_{i+1} \frac{y_{i+1} - y_i}{h} - a_i \frac{y_i - y_{i-1}}{h}].$$

Найдём условия, обеспечивающие второй порядок аппроксимации на любой достаточно гладкой функции $u(x, t)$. Вводя обозначения

$$u = u(x_i, t), \quad u' = \frac{\partial u}{\partial x}(x_i, t), \quad u'' = \frac{\partial^2 u}{\partial x^2}(x_i, t), \quad u''' = \frac{\partial^3 u}{\partial x^3}(x_i, t)$$

и используя разложение по формуле Тейлора, получим:

$$\Lambda(t)u = \frac{1}{h} \left[a_{i+1} \left(hu' + \frac{h^2}{2}u'' + \frac{h^3}{6}u''' \right) - a_i \left(-hu' - \frac{h^2}{2}u'' + \frac{h^3}{6}u''' \right) \right] + O(h^2).$$

Отсюда получаем:

$$\Lambda(t)u = \frac{a_{i+1} - a_i}{h}u' + \frac{a_{i+1} + a_i}{2}u'' + \frac{a_{i+1} - a_i}{h} \frac{h^2}{6}u''' + O(h^2).$$

Таким образом, условие второго порядка аппроксимации:

$$\frac{a(x_{i+1}, t) + a(x_i, t)}{2} = k(x_i, t) + O(h^2).$$

Построение схемы для нестационарного уравнения

Исходя из $Lu = \frac{\partial}{\partial x} \left(k \frac{\partial u}{\partial x} \right)$, при каждом фиксированном t в точке (x_i, t) разностное отношение принимает вид:

$$\Lambda(t)y_i = \frac{1}{h} \left[a_{i+1} \frac{y_{i+1} - y_i}{h} - a_i \frac{y_i - y_{i-1}}{h} \right].$$

Найдём условия, обеспечивающие второй порядок аппроксимации на любой достаточно гладкой функции $u(x, t)$. Используя разложение по формуле Тейлора, получим:

$$\Lambda(t)u = \frac{a_{i+1} + a_i}{2}u'' + O(h^2).$$

Автомодельное решение

Построим семейство автомодельных решений квазилинейного уравнения теплопроводности

$$\begin{cases} \frac{\partial u}{\partial t} = \frac{\partial}{\partial x} \left(k(u) \frac{\partial u}{\partial x} \right), \\ k(u) = \kappa_0 u^\sigma, \\ \sigma > 0, \kappa_0 > 0, \end{cases}$$

предполагая степенную зависимость коэффициента теплопроводности от температуры. Будем искать решения уравнения типа бегущей волны:

$$u(x, t) = u(z), \quad z = Dt - x, \quad D = \text{const.}$$

Тогда

$$\begin{aligned} & \begin{cases} \frac{\partial u}{\partial t} = D \frac{du}{dz}, \\ \frac{\partial u}{\partial x} = -\frac{du}{dz}, \\ \frac{\partial}{\partial x} \left(k(u) \frac{\partial u}{\partial x} \right) = (ku')', \end{cases} \\ \Rightarrow & \begin{cases} Du' = (ku')' \Leftrightarrow Du = k(u)u' + C_1 = k(u)u', \\ Du = \kappa_0 u^\sigma u' \Leftrightarrow dz = \frac{\kappa_0}{D} u^{\sigma-1} du + C_2 = \frac{\kappa_0}{D} u^{\sigma-1} du. \end{cases} \\ \Rightarrow & u(z) = \begin{cases} \left(\frac{\sigma D}{\kappa_0} \right)^{1/\sigma} z^{1/\sigma}, & z \geq 0, \\ u(0) = 0, & z < 0. \end{cases} \\ \Rightarrow & u(x, t) = \begin{cases} \left(\frac{\sigma D}{\kappa_0} \right)^{1/\sigma} (Dt - x)^{1/\sigma}, & x \leq Dt, \\ 0, & x > Dt, \end{cases} \end{aligned}$$

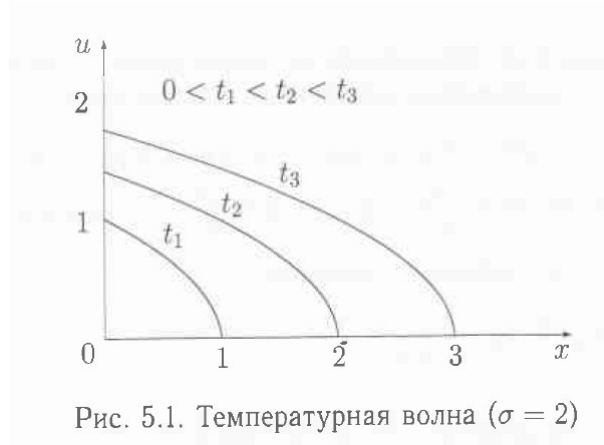
может рассматриваться в качестве решения следующей задачи:

$$\begin{cases} \frac{\partial u}{\partial t} = \frac{\partial}{\partial x} \left(k_0 u^\sigma \frac{\partial u}{\partial x} \right), & x > 0, \quad t > 0, \\ u(0, t) = u_0 t^{1/\sigma}, \\ u(\infty, t) = 0, & t \geq 0, \\ u(x, 0) = 0, & x > 0. \end{cases}$$

Здесь $u_0 = \left(\frac{\sigma D^2}{\kappa_0} \right)^{1/\sigma}$. При заданных значениях параметров κ_0 , σ , u_0 нахождение решения этой задачи сводится к определению постоянной

$$D = \sqrt{\frac{\kappa_0 u_0^\sigma}{\sigma}}.$$

Это решение представляет собой температурную волну, распространяющуюся с постоянной скоростью D по нулевому начальному фону. Точка $x = Dt$ называется фронтом температурной волны.



1 Тепловая волна Зельдовича

Тепловая волна Зельдовича — это решение задачи теплопроводности с начальным условием в виде дельта-функции, которое моделирует распространение тепла от мгновенного точечного источника. Такой процесс часто используется для описания физических явлений, где тепло или энергия распределяются с высокой интенсивностью в одной точке и затем начинают распространяться в окружающее пространство.

Рассмотрим уравнение теплопроводности:

$$\frac{\partial T}{\partial t} = \alpha \frac{\partial^2 T}{\partial x^2}, \quad (2)$$

где:

- $T(x, t)$ — температура;
- α — коэффициент теплопроводности.

1.1 Начальные и граничные условия

Начальное условие:

$$T(x, 0) = Q\delta(x - x_0), \quad (3)$$

где $\delta(x - x_0)$ — дельта-функция, сосредоточивающая всё тепло Q в точке x_0 при $t = 0$.

Граничные условия:

$$T(x, t) \rightarrow 0 \quad \text{при} \quad x \rightarrow \pm\infty. \quad (4)$$

Аналитическое решение

Для дельта-функции начальное условие означает, что общее количество тепла сохраняется:

$$\int_{-\infty}^{\infty} T(x, t) dx = Q. \quad (5)$$

Решение уравнения теплопроводности с таким начальным условием:

$$T(x, t) = \frac{Q}{\sqrt{4\pi\alpha t}} \exp\left(-\frac{(x - x_0)^2}{4\alpha t}\right), \quad (6)$$

где:

- Q — общее количество тепла;
- $\sqrt{4\pi\alpha t}$ — масштабный фактор, отвечающий за расширение области распространения тепла.

Численная аппроксимация

Для численного решения уравнения теплопроводности с начальным условием в виде дельта-функции дельта-функция заменяется приближением в виде узкой функции, например, гауссианом:

$$T(x, 0) = \frac{Q}{\sqrt{\epsilon\pi}} \exp\left(-\frac{(x - x_0)^2}{\epsilon}\right), \quad (7)$$

где $\epsilon \ll 1$.

Дискретизация уравнения

Для численного решения применяем метод конечных разностей:

- Аппроксимация временной производной:

$$\frac{\partial T}{\partial t} \approx \frac{T_i^{n+1} - T_i^n}{\Delta t}. \quad (8)$$

- Аппроксимация второй производной по пространству:

$$\frac{\partial^2 T}{\partial x^2} \approx \frac{T_{i+1}^n - 2T_i^n + T_{i-1}^n}{\Delta x^2}. \quad (9)$$

Подставляя это в уравнение, получаем:

$$T_i^{n+1} = T_i^n + \alpha \frac{\Delta t}{\Delta x^2} (T_{i+1}^n - 2T_i^n + T_{i-1}^n). \quad (10)$$

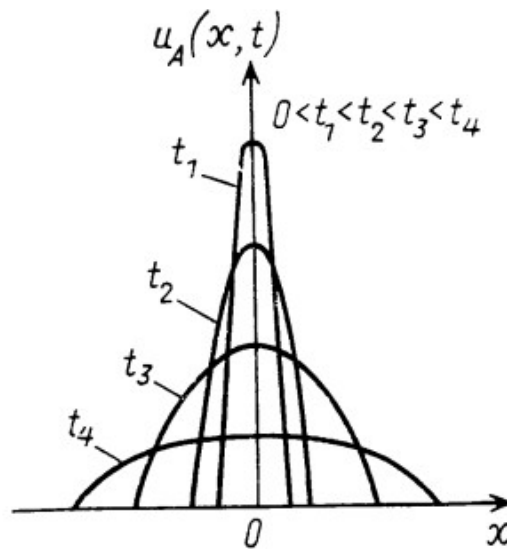


Рис. 1: Тепловая волна Зельдовича

2 Уравнение теплопроводности с режимом обострения (S, HS, LS-режимы)

Рассмотрим одномерное уравнение теплопроводности с объёмным источником тепла, имеющим вид

$$u_t = (k(u) u_x)_x + f(u), \quad (11)$$

где

$$k(u) = k_0 u^2, \quad f(u) = u^\beta,$$

а функция $u(x, t)$ описывает температуру в точке x в момент времени t . Константа $k_0 > 0$ является коэффициентом «квазилинейной» теплопроводности, а $\beta > 1$ определяет «силу» источника тепла $f(u)$.

В зависимости от значения β , наряду с другими физическими параметрами, в модели наблюдаются разные типы («режимы») обострения решения:

- **HS-режим** (High-Speed), когда $\beta = 2$;
- **S-режим**, когда $\beta = 3$;
- **LS-режим** (Low-Speed), когда $\beta = 4$.

Во всех этих случаях при достаточно большом начальном распределении $u_0(x)$ решение имеет склонность к так называемому *взрывному росту* (или *обострению*) за конечное время T . Более точно, существует некоторое $T > 0$ такое, что

$$\lim_{t \rightarrow T^-} \max_x u(x, t) = +\infty.$$

Это явление интерпретируется как *локализованное возгорание* (горение) в рамках упрощённой модели теплопроводности.

2.1 Постановка граничных и начальных условий

Часто рассматривается задача Коши или краевая задача на конечном интервале:

$$x \in [-L, L],$$

с граничными условиями Дирихле или Неймана. Например, в простейшем случае:

$$u(-L, t) = 0, \quad u(L, t) = 0. \quad (12)$$

Начальное условие записывается в виде

$$u(x, 0) = u_0(x) \geq 0, \quad (13)$$

причём обычно предполагается «локализованный бугор» в центре (например, кусочно-косинусная шапочка), чтобы инициировать рост решения в окрестности $x = 0$.

2.2 Аналитические замечания о режиме обострения

Если $k(u) = k_0 u^2$ и $f(u) = u^\beta$, то уравнение (11) нередко переписывают в виде

$$u_t = k_0 \frac{\partial}{\partial x} (u^2 u_x) + u^\beta.$$

Такой выбор позволяет ввести *автомодельные переменные* (аналогичные $\xi = \frac{|x|}{\sqrt{T_0 - t}}$ и т. д.) и искать специальные решения-«столбики»:

$$u_A(x, t) = \frac{1}{T_0 - t} \theta(\xi), \quad \xi = \frac{|x|}{\sqrt{T_0 - t}},$$

для которых функция $\theta(\xi)$ удовлетворяет обыкновенному дифференциальному уравнению вида

$$(\theta^2 \theta')' + \theta^\beta - \dots = 0.$$

Конкретный вид этого ОДУ и его граничных условий зависит от β и согласуется с (11) (см. формулы (13.9)–(13.12) из приведённого материала).

S-режим (beta=3). В случае $\beta = 3$ возможно классическое *точное* решение вида

$$u_A(x, t) = \frac{\frac{\sqrt{3}}{2} \cos\left(\frac{\pi x}{L_s}\right)}{\sqrt{T_0 - t}} \quad \text{при} \quad |x| < \frac{L_s}{2},$$

если соответствующим образом подобрать $L_s = \pi\sqrt{3}$. На краях $|x| = L_s/2$ решение равняется нулю, что даёт классическую «косинусную шпалочку». При $t \rightarrow T_0$ в центре $x = 0$ решение возрастает безгранично по закону $\frac{1}{\sqrt{T_0 - t}}$.

HS-режим (beta=2). Здесь $\beta = 2$. Хотя формальная подстановка похожа, закрытая элементарная функция вроде $\cos(\cdot)/\sqrt{T_0 - t}$ уже *не* получается. Вычисление «автомодельного» решения $\theta(\xi)$ сводится к численному решению ОДУ:

$$(\theta^2 \theta')' + \theta^2 = 0,$$

с некоторыми условиями на концах промежутка $\xi \in [-\xi_0, \xi_0]$. Тем не менее качественно решение так же «сжимается» к центру $|x| < x_*(t)$, где фронт $x_*(t)$ движется со временем, а сама температура в окрестности $x = 0$ возрастает к ∞ при $t \rightarrow T_0$.

LS-режим (beta=4). Для $\beta = 4$ говорят, что источник u^4 является ещё более «сильным», чем при $\beta = 3$. Соответственно, «режим обострения» наступает порой даже быстрее. Однако *простая* формула решения в замкнутом виде (как при $\beta = 3$) вновь отсутствует, и локализация фронтов оказывается особой (см. формулу (13.12) из материала). В частности, автомодельный анализ даёт ОДУ:

$$(\theta^2 \theta')' + \theta^4 = 0,$$

где для больших $|\xi|$ функция $\theta(\xi)$ убывает как $1/|\xi|^2$.

2.3 Численные методы решения

Чтобы найти численное решение задачи (11)–(13) с условиями (12), часто используют *явную* или *неявную* конечно-разностную аппроксимацию. Например, в явном варианте:

$$u_i^{n+1} = u_i^n + \tau \frac{(k(u^n) \delta_x u^n)_i}{h^2} + \tau (u_i^n)^\beta,$$

где δ_x обозначает центральную разность по x . При этом для контроля шага по времени τ можно использовать алгоритм типа «дублированного шага» (Runge–Kutt-like): сперва вычисляем решение при шаге τ , затем два шага по $\frac{1}{2} \tau$, сравниваем решения и при плохой сходимости уменьшаем τ .

Наблюдается, что к моменту $t \approx 0.99 T_0$ решение $\{u_i^n\}$ резко возрастает вблизи $x = 0$, что свидетельствует о *взрывном* (обострённом) характере эволюции. Разница между HS-, S- и LS-режимами проявляется в разной скорости роста температуры в центре и в разном характере «фронтов» (точек, где решение переходит к нулю).

2.4 Выводы и физическая интерпретация

Таким образом, уравнение (11) допускает три основных сценария «самонагрева» (горения) в зависимости от β .

- **S-режим** ($\beta = 3$): есть точное автомодельное решение со «статической» локализацией $|x| \leq \frac{L_s}{2}$.
- **HS-режим** ($\beta = 2$): «более слабое» теплообразование (u^2 против u^3), однако взрыв наступает *раньше* (T_0 в большинстве случаев меньше), а эксплицитной элементарной формулы для решения нет.
- **LS-режим** ($\beta = 4$): «более сильное» теплообразование, ведущая к резкому взрывному росту, но с «особым» поведением фронта и убывающей асимптотической $\theta(\xi) \sim 1/|\xi|^2$.

3 Индивидуальная задача и метод CROS(комплексный метод Розенброка)

Рассмотрим одномерное параболическое уравнение с переменными коэффициентами:

$$\frac{\partial u}{\partial t} = (x+2) \frac{\partial^2 u}{\partial x^2} + 2 \frac{\partial u}{\partial x} + f(x, t),$$

задаваемое для $x \in [0, 1]$ и $t \geq 0$. Дополнительно полагаем граничные условия

$$u(0, t) = 0, \quad u(1, t) = 0,$$

а также некоторое начальное условие

$$u(x, 0) = \varphi(x).$$

В нашем примере мы выбираем

$$\varphi(x) = u_{\text{exact}}(x, 0),$$

где u_{exact} — функция, которую заранее подбираем так, чтобы подстановка её в уравнение позволяла найти соответствующую силу (или “источник”) $f(x, t)$. Именно благодаря этому u_{exact} *точно* удовлетворяет исходной задаче при соответствующем $f(x, t)$.

3.1 Выбор u_{exact} и вывод $f(x)$

Чтобы иметь возможность проверить точность численного метода, полезно заранее задать функцию

$$u_{\text{exact}}(x, t) = e^{-t} \sin(\pi x).$$

Нетрудно проверить, что при таких граничных условиях $u_{\text{exact}}(0, t) = 0$ и $u_{\text{exact}}(1, t) = 0$. Теперь вычислим нужную правую часть $f(x, t)$, подставляя u_{exact} в исходное уравнение:

$$u_t = \frac{\partial}{\partial t} (e^{-t} \sin(\pi x)) = -e^{-t} \sin(\pi x),$$

$$u_x = \frac{\partial}{\partial x} (e^{-t} \sin(\pi x)) = e^{-t} \pi \cos(\pi x),$$

$$u_{xx} = \frac{\partial^2}{\partial x^2} (e^{-t} \sin(\pi x)) = -e^{-t} \pi^2 \sin(\pi x).$$

Подставляя их в

$$u_t = (x + 2) u_{xx} + 2 u_x + f(x, t),$$

получаем

$$-e^{-t} \sin(\pi x) = (x + 2) (-e^{-t} \pi^2 \sin(\pi x)) + 2(e^{-t} \pi \cos(\pi x)) + f(x, t).$$

Вынесем e^{-t} за скобки:

$$-\sin(\pi x) = -(x + 2) \pi^2 \sin(\pi x) + 2 \pi \cos(\pi x) + f(x, t) e^t.$$

Следовательно,

$$f(x, t) = e^{-t} \left[(\pi^2 (x + 2) - 1) \sin(\pi x) - 2 \pi \cos(\pi x) \right].$$

Таким образом, если выбрать именно такую функцию f , то $u_{\text{exact}}(x, t) = e^{-t} \sin(\pi x)$ будет точным решением исходной задачи (с нулевыми граничными условиями).

3.2 Описание численного метода

3.2.1 Метод линий и аппроксимация по пространству

Для решения данного уравнения мы применяем *метод линий*. Он заключается в том, что мы сначала дискретизируем уравнение по пространству (переводя задачу в систему ОДУ по времени), а уже затем решаем полученную систему ОДУ методом Розенброка.

Дискретизация по x . Разобьём отрезок $[0, 1]$ на N равных промежутков шагом $h = 1/N$. Пусть $x_j = j h$, $j = 0, 1, \dots, N$. Обозначим $u_j(t) \approx u(x_j, t)$. Центральная разность для второй производной дает:

$$u_{xx}(x_j, t) \approx \frac{u_{j+1}(t) - 2u_j(t) + u_{j-1}(t)}{h^2},$$

а для первой производной (учитывая коэффициент 2 в уравнении) получаем схематично

$$2u_x \approx \frac{2}{2h} (u_{j+1}(t) - u_{j-1}(t)) = \frac{1}{h} (u_{j+1}(t) - u_{j-1}(t)).$$

Учитывая переменный коэффициент $(x_j + 2)$, собираем операцию в матрицу \mathbf{A} . Таким образом, формируется система:

$$\frac{d}{dt} \mathbf{U}(t) = \mathbf{A} \mathbf{U}(t) + \mathbf{F}(t),$$

где $\mathbf{U}(t)$ — вектор значений $\{u_1(t), u_2(t), \dots, u_{N-1}(t)\}$ (граничные узлы мы исключаем, так как $u_0(t) = u_N(t) = 0$ по условию), а $\mathbf{F}(t)$ учитывает силу $f(x, t)$ и граничные условия.

3.3 Метод Розенброка (упрощённая схема)

Для интегрирования по времени системы ОДУ, полученной после дискретизации по пространству, применим *одношаговый метод Розенброка*. Идея Розенброк-схем — обеспечить А-устойчивость за счёт *явно-неявного* подхода, но с более простым обращением к матрице системы, чем в полностью неявном методе.

В частности, рассмотрим упрощённую одношаговую схему:

$$\mathbf{U}^{n+1} = \mathbf{U}^n + \Delta t (\mathbf{I} - \gamma \Delta t \mathbf{A})^{-1} [\mathbf{A} \mathbf{U}^n + \mathbf{F}(t_n)],$$

где Δt — шаг по времени, γ — некоторое число (обычно $\gamma = 1$ либо выбирается из условий устойчивости), а \mathbf{I} — единичная матрица. Заметим, что для линейной системы с постоянной матрицей \mathbf{A} инверсия $(\mathbf{I} - \gamma \Delta t \mathbf{A})$ может быть выполнена единожды на каждом шаге, что делает метод достаточно эффективным для жёстких задач.

Применение к нашей задаче. На каждом шаге по времени $t_n \rightarrow t_{n+1}$, мы:

1. Вычисляем $\mathbf{RHS} = \mathbf{A} \mathbf{U}^n + \mathbf{F}(t_n)$.
2. Решаем линейную систему

$$(\mathbf{I} - \gamma \Delta t \mathbf{A}) \mathbf{k} = \mathbf{RHS}.$$

3. Обновляем решение $\mathbf{U}^{n+1} = \mathbf{U}^n + \Delta t \mathbf{k}$.

Поскольку \mathbf{A} не зависит от времени (оно зависит только от x , а сетка по x фиксирована), матрицу $\mathbf{I} - \gamma \Delta t \mathbf{A}$ можно при желании факторизовать (например, LU-факторизацией) один раз и многократно использовать при решении.

3.4 Применение метода CROS к модельной задаче №3

Решается заданное модельное уравнение теплопроводности (или диффузии) с заранее известными (вычисленными) аналитическим решением и реализованными явной и неявной РС численные решения:

$$\frac{\partial u}{\partial t} = \frac{\partial^2 u}{\partial x^2} \quad (0 < x < 1, t > 0),$$

где дополнительно считаем, что $u(0, t) = 0$ и $u(1, t) = 0$. В качестве начального условия выбирается прямоугольная (или “целевая”) функция $u(x, 0) = 1$ при $x \in [0.5 - \Delta, 0.5 + \Delta]$ и 0 в остальных точках.

Для решения задачи программно реализовано сразу три схемы:

1. **Явная (Explicit) схема** — по времени используется прямая (явная) конечно-разностная аппроксимация:

$$u_i^{n+1} = u_i^n + \alpha (u_{i+1}^n - 2u_i^n + u_{i-1}^n),$$

где $\alpha = \frac{\Delta t}{(\Delta x)^2}$. Данная схема проста в реализации, но может требовать очень маленького шага Δt для сохранения устойчивости.

2. **Неявная (Implicit) схема** — по времени применяется обратная (полностью неявная) схема Эйлера:

$$u_i^{n+1} - \alpha (u_{i+1}^{n+1} - 2u_i^{n+1} + u_{i-1}^{n+1}) = u_i^n,$$

которая требует решения СЛАУ на каждом шаге, но обладает лучшей устойчивостью, чем явная.

3. **CROS (Complex Rosenbrock) метод** — это вариант *полужёсткой* (stiffly accurate) схемы Розенброка, где для расчёта промежуточного шага используется комплексный коэффициент $\xi = \frac{1+i}{2}$. Схема имеет вид

$$(I - \xi \Delta t A) \mathbf{z} = A \mathbf{u}^n, \quad \mathbf{u}^{n+1} = \mathbf{u}^n + \Delta t \Re(\mathbf{z}),$$

где A — матрица, полученная из дискретизации оператора $\frac{\partial^2}{\partial x^2}$ (с учётом граничных условий). Выбор комплексного параметра повышает свойства устойчивости и точности при решении жёстких задач.

Основные шаги решения и сравнительный анализ

- **Дискретизация по пространству.** Отрезок $[0, 1]$ разбивается на `num_nodes` узлов, где $\Delta x = \frac{1}{(\text{num_nodes}-1)}$. На границах $x = 0$ и $x = 1$ температура (или функция u) фиксируется равной нулю.
- **Начальное условие.** В коде задаётся “прямоугольный” профиль: единица вблизи $x = 0.5$ (шириной примерно $2 \times \text{region_half_width}$) и ноль в остальных точках.

- **Решение по времени.** Программа делает `time_intervals` шагов по времени до конечного момента `final_time`. Для каждой из трёх схем (явная, неявная, CROS) мы получаем массив `solution_history`, который содержит распределение u_i^n на каждом шаге n .
- **Сравнение результатов.** В последней части кода строится график распределения температуры $u(x, t_{\text{final}})$ для трёх методов, а также вычисляется метрика (L2-норма разности) между ними. Поскольку точного аналитического решения у такой задачи нет (задача с кусочно-постоянным начальным условием), сравнительный анализ идёт по сопоставлению численных решений между собой и оценке “расхождения” в конце расчёта.

Таким образом, в программе демонстрируется:

1. Как каждый из методов (явный, неявный, CROS) аппроксимирует теплопроводность;
2. Отличие по качеству решения, стабилизации и диффузии начального импульса;
3. Насколько велика (или мала) разница между решениями при выбранном шаге по времени.

Предложенный эксперимент позволяют оценить, какие методы лучше всего подходят для данной задачи, какой необходим шаг Δt для устойчивого и точного результата, и как жёсткость задачи влияет на выбор численного алгоритма, а также позволяет удостовериться в корректной и довольно неплохой работе метода CROS.

4 Листинги программ

Реализации программ на GitHub

Список литературы

1. Абакумов М.В., Гулин А.В. Лекции по численным методам математической физики — 2013.
2. Самарский А.А., Гулин А.В. Численные методы математической физики. — М.: Научный мир, 2020.
3. Свешников А.Г., Боголюбов А.Н., Кравцов В.В. Лекции по математической физике. — 1993.
4. Зельдович Я.Б., Компанец А.С. "К теории распространения тепла при теплопроводности, зависящей от температуры"
5. Lang, J. (2020). Rosenbrock-Wanner Methods: Construction and Mission
6. Hairer, E., Norsett, S. P., Wanner, G. (1993). Solving Ordinary Differential Equations I: Nonstiff Problems (2nd ed.).